

آنالیز انرژی- اگررژی و مطالعه پارامترهای نیروگاه چرخه‌ی ترکیبی بر پایه‌ی توربین‌غازی و توربین‌بخار

سعید کریم‌زاده^۱، محمد رضا عطاپور^۱، صمد جعفر مدار^۲، سیمین انواری^۲ و هادی تقی‌فر^{۳*}

^۱دانشگاه آزاد اسلامی واحد عجب‌شیر

^۲گروه مهندسی مکانیک، دانشکده فنی مهندسی، دانشگاه ارومیه

^۳گروه مهندسی مکانیک، دانشکده فنی مهندسی، دانشگاه ملایر

دریافت: بهار ۹۷ پذیرش: پاییز ۹۷

چکیده

در سال‌های اخیر با توجه به افزایش روز افزون به کارگیری نیروگاه‌های چرخه ترکیبی در ایران و جهان، لزوم مطالعه بر روی آن‌ها و مخصوصاً تلفات موجود در این نیروگاه‌ها و تک تک اجزاء آن‌ها آشکار می‌شود. آنالیز نیروگاه‌ها با استفاده از قوانین اول و دوم ترمودینامیک به طور همزمان، این‌بار مناسبی برای دستیابی به درک درستی از بازگشت ناپذیری‌های اجزا و کل سیستم خواهد بود. از این‌رو، در این تحقیق به آنالیز انرژی و اگررژی چرخه‌های توربین‌غازی، توربین‌بخار و ترکیبی پرداخته می‌شود. همچنین تاثیر پارامترهای مختلف بر روی بازده‌های انرژی و اگررژی، نرخ نابودی اگررژی و توان تولیدی نیروگاه‌ها بررسی می‌شود. نتایج نشان می‌دهد که چرخه ترکیبی دارای بالاترین کارائی در بین چرخه‌های مطالعه شده است. توان تولیدی چرخه ترکیبی برابر با $19/2$ مگاوات است که در حدود 47% از توان تولیدی چرخه توربین‌غازی بیشتر است. مقدار نرخ نابودی اگررژی چرخه ترکیبی در حدود 33% از چرخه توربین‌غازی کمتر است. مقدار مصرف سوخت در چرخه ترکیبی در مقایسه با چرخه توربین‌غازی به مقدار 11% کاهش یافته است. افزایش دمای ورودی به توربین‌غازی، موجب 26% افزایش در کل نرخ نابودی اگررژی چرخه ترکیبی شده و از 21 به $26/5$ مگاوات می‌رسد.

*عهده‌دار مکاتبات: haditaghifar@yahoo.com

کلمات کلیدی: چرخه‌ی توربین‌غازی، چرخه‌ی توربین‌بخار، چرخه‌ی ترکیبی، بازده اگررژی.

شود، گسته و از سوی دیگر باعث ایجاد آثار مخرب زیست محیطی همچون بالا رفتن سطح گازهای گلخانه‌ای در جو می‌شود. یکی از راه‌های حل این مشکل بکارگیری گرمای اтلافی و تبدیل نیروگاه‌های تولید الکتریسیته به نیروگاه‌های ترکیبی است [۲].

در نیروگاه‌های چرخه ترکیبی هم از توربین‌های گاز و هم توربین‌های بخار برای تولید الکتریسیته در یک چرخه به طور همزمان استفاده می‌گردد. ایده کاربرد چرخه‌های ترکیبی از این واقعیت سرچشممه گرفته است که حرارت باقیمانده که به صورت گازهای داغ خارج شونده از توربین‌غازی در چرخه برایتون می‌باشد، قابل استفاده بوده، و می‌توان با اتخاذ ترتیبی برای بازیافت بخشی از این حرارت، راندمان کار این چرخه را افزایش داد. علاوه بر مزیت‌های مربوط به بهره‌دهی بالاتر و تولید توان الکتریکی بیشتر، چرخه‌های ترکیبی دارای انعطاف پذیری مناسب برای انواع بهره‌برداری و بهره‌دهی بالا در بازه‌های زمانی طولانی بهره‌برداری با طرفیت‌های زیاد می‌باشند [۳].

در نتیجه بررسی و تحلیل این صنعت، جهت تحلیل انرژی و ارائه راهکارهای کاهش مصرف سوخت می‌تواند نقش مهمی در اقتصاد کشور ایفا کند. از این‌رو آنالیز ترمودینامیکی نیروگاه‌های ترکیبی از اهمیت قابل

- مقدمه

انرژی یکی از اساسی‌ترین و مساله سازترین موضوعات جهان امروز است. کاهش شدید منابع سوخت‌های فسیلی، صنعتی شدن اکثر کشورها و وابسته شدن آنها به انرژی و در نتیجه افزایش قیمت جهانی سوخت از یک طرف موجب بحران انرژی شده و از طرفی دیگر افزایش مصرف سوخت و عدم دقت در نحوه مصرف آن باعث ایجاد بحران زیستمحیطی در سطح جهان گردیده است [۱]. همچنین تداوم رشد مصرف انرژی و بهره‌وری پایین شبکه برق، منجر به افزایش قیمت تمام شده انرژی الکتریکی تولیدی می‌شود. از این‌رو اتخاذ تصمیمات مدیریتی باید در حوزه انرژی، در جهت افزایش بهره‌وری در بخش‌های تولید، انتقال، توزیع و مصرف انرژی الکتریکی به منظور کاهش تلفات و بازیافت آن صورت گیرد، چراکه در غیر این صورت ضمن عدم استفاده از منابع فسیلی جهت ایجاد ارزش افزوده بیشتر و تولید محصولات، بالرزش بالاتر، تلفات انرژی نیز به دنبال خواهد داشت.

امروزه بخش عظیمی از پتانسیل انرژی در نیروگاه‌های تولید الکتریسیته به صورت حرارت به محیط دفع می‌شود. دفع انرژی حرارتی به محیط، از سویی موجب اتلاف بخشی از انرژی که می‌تواند مفید واقع

مختلف مقایسه شده اند. تأثیر فشار کندانسور روی بازده به نحو زیر گزارش شده است: هنگامیکه فشار کندانسور از ۲۶۹ میلی بار به ۱۵۶ میلی بار کاهش می‌یابد، بازده چرخه به میزان $1/3$ % کاهش می‌یابد. چو و همکارانش [۱۰]، به ارزیابی پتانسیل چرخه ترکیبی توربین گازی با جایگزینی سوخت گازوئیل به جای سوخت زغال سنگ پرداختند. نتایج آن‌ها نشان داد که خروجی هر دو سیستم حالت مورد بررسی اعم از بازده اگزرسی به مقدار کمی تغییر می‌کند. اما به کارگیری سوخت گازوئیل به جای سوخت زغال سنگ موجب کاهش قابل ملاحظه‌ای در اثرات محیط زیست می‌شود. شرما و سینگ [۱۱] به آنالیز اگزرسی یک مبدل حرارتی برای حالت‌های مختلف تولید بخار در نیروگاه ترکیبی بخار پرداختند. آنها نشان دادند که انواع حالت‌های ترمودینامیکی تأثیر متفاوتی بر روی عملکرد مولد حرارتی دارد و همچنین دستیابی به بهترین حالت کمک به سازی در افزایش عملکرد مولد حرارتی در نیروگاه‌های ترکیبی تولید توان می‌کند.

۲- معرفی چرخه‌های مورد مطالعه

در این قسمت ابتدا دو چرخه توربین گازی و چرخه توربین بخار معرفی می‌شوند و سپس چرخه ترکیبی حاصل از ترکیب دو چرخه‌ی ذکر شده، معرفی می‌شود.

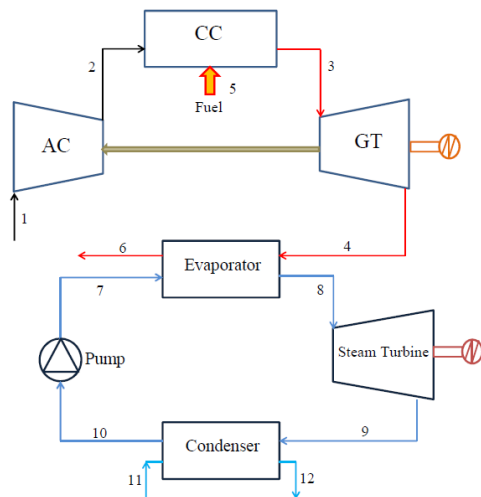
۱- چرخه‌ی توربین گازی

در شکل (۱) شماتیکی از چرخه توربین گازی نشان داده شده است. یک چرخه توربین گازی ساده از سه جزء اصلی شامل کمپرسور هوا (AC)، محفظه احتراق (CC) و توربین گاز (GT) تشکیل می‌شود. در این چرخه، سوخت لازم برای احتراق از طریق محفظه احتراق وارد چرخه می‌شود. نحوه کارکرد این چرخه به این صورت است که در ابتدا هوا در دما و فشار محیط ($P_0=1$ bar, $T_0=25^{\circ}\text{C}$) از نقطه P_0 در نقطه $r_p = 16$ در نقطه ۲ وارد محفظه احتراق می‌شود. هوای ورودی تراکم در نظر نداشته باشند. در نظر گرفته شده است. گازهای داغ در محفظه احتراق با سوخت ورودی به آن که گاز طبیعی بوده و از نقطه ۵ در فشار ۸ بار و دمای ۲۹۸ کلوین به محفظه احتراق وارد می‌شود، محترق شده و گازهای داغ را در دمای ۱۴۰۰ کلوین تولید می‌کند. افت فشار در محفظه احتراق از نقطه ۰/۲ در نظر گرفته شده است. گازهای داغ در نقطه ۳ وارد توربین گازی می‌شوند و در آن به صورت آیزونتروپیکی برای تولید توانی به مقدار ۱۳ مگاوات منبسط می‌شوند. در انتهای گازهای منبسط شده از نقطه ۴ توربین را ترک می‌کند. در این چرخه بازده آیزونتروپیکی برای کمپرسور هوا 88% و برای توربین گازی 90% در نظر گرفته شده است [۱۲].

ملاحظه‌ای بروخوردار است. در طول سال‌های اخیر محققان به این نتیجه رسیده‌اند که تئوری قانون اول ترمودینامیک اغلب درک روشنی از پارامترهای کارکردی یک سیستم تبدیل انرژی ارائه نمی‌کند. این بدین معنی است که پتانسیل یک سیستم ترمودینامیکی در یک حالت معین برای تولید ماکریم کار مفید مکانیکی را نمی‌توان از طریق قانون اول محاسبه کرد. برخلاف قانون اول، قانون دوم ترمودینامیک (آنالیز اگزرسی) قابلیت شناسایی بازگشت ناپذیری‌ها و اتفاقات در فرآیندهای مختلف سیستم‌های تبدیل انرژی را دارا بوده و می‌تواند به عنوان ابزار مناسب برای شناسایی این بازگشت ناپذیری‌ها و اتفاقات و بهبود فرآیندها مورد استفاده قرار گیرد [۴]. بنابراین باستی قانون دوم ترمودینامیک با قانون اول کوپل شود تا بتوان درک روشنی از کارکرد این سیستم‌ها را بدست آورد [۱].

هونگ [۵] نشان داد که ارزیابی عملکرد نیروگاه سیکل ترکیبی تنها بر اساس قانون اول کافی نمی‌باشد و برای ارزیابی بهتر باید آنالیز قانون دوم ترمودینامیک انجام شود. خالیگ و کائوشیک [۶]، یک چرخه ترکیبی، تک فشاره را در نظر گرفته و پس از تهیه مدل انرژی و اگزرسی سیستم، تأثیر برخی پارامترهای عملکردی و تعداد مراحل گرمایش مجدد را روی مقادیر بازده‌های قانون اول و دوم ترمودینامیک بررسی کردند. ارزیابی نتایج حاصل از حل مدل ریاضی نشان داد که افزایش نسبت فشار کمپرسور تا یک مقدار مشخص موجب افزایش بازده قانون های اول و دوم ترمودینامیک چرخه می‌شود اما بعد از آن با افزایش نسبت فشار مقادیر بازده روند نزولی دارند. همچنین نتایج مربوط به تأثیر نسبت دمای چرخه و تعداد مراحل گرمایش مجدد، گویای این مطلبند که افزایش نسبت دمای چرخه همواره اثری مطلوب بر روی بازده قانون اول و دوم دارد. به طوریکه با افزایش نسبت دما از $4/5$ تا $4/6$ ، مقدار بازده قانون اول از $30/3$ به $39/8$ % و بازده قانون دوم از $40/4$ به $47/05$ % افزایش می‌یابد. همچنین استفاده از گرمایش مجدد تا دو مرحله، موجب افزایش بازده اگزرسی چرخه می‌شود در حالیکه استفاده از گرمایش مجدد بیش از دو مرحله موجب کاهش آن می‌گردد. بادامی و مورا [۷] یک چرخه ترکیبی را از دیدگاه اگزرسی مورد مطالعه قرار دادند. نتایج حاصل از ارزیابی سیستم بر اساس نرخ زمانی تولید اگزرسی و بازده نسبی در طول محدوده های کاری نشان می‌دهد که ماکریم بازده قانون دوم سیستم در شرایطی به دست می‌آید که چرخه پائین (رانکین) کاملاً وارد مدار تولید توان و حرارت شده است. نتیجه آنالیز حساسیت نشان می‌دهد که با بهبود پارامترهای مربوط به چرخه بالایی بازده کل چرخه به طرز چشمگیری افزایش می‌یابد. همچنین بهبود پارامترهای مربوط به بویلر بازیافت گرما همچون اختلاف دمای تنگش می‌توان بازده کلی چرخه را افزایش داد. اینوری و همکاران [۸] از گازهای خروجی توربین گاز به عنوان منبع حرارتی سیکل رانکین استفاده و گزارش کردند که راندمان سیکل میکروتوربین از 30% به 40% در سیکل ترکیبی افزایش یافته است. چنانچه و سو [۹] با در نظر گرفتن یک چرخه ترکیبی تولید همزمان با سه سطح فشار از طریق آزمایش تأثیر فشار کندانسور و شرایط محیطی را روی توان خروجی و بازده چرخه بررسی کردند. چرخه پایه دارای تولید توانی برابر 457 مگاوات و حرارتی معادل 6695 کیلو ژول است. همچنین بازده چرخه در شرایط پایه برابر $53/8$ % است. این طرح ابتدا در فشارهای مختلف کندانسور آزمایش شده و مقادیر تولید توان و بازده در حالت های

کارگیری حرارت اталافی نیروگاه توربین گازی توسط نیروگاه بخار، موجب افزایش کارایی و افزایش توان تولیدی چرخه ترکیبی می‌شود. از این‌رو فرضیات اعمالی در چرخه ترکیبی منطبق با فرضیات اعمالی بر چرخه‌های توربین گازی و توربین بخار است.



شکل ۳: شماتیک چرخه‌ی ترکیبی

۳- مدل سازی ترمودینامیکی چرخه‌های مورد مطالعه

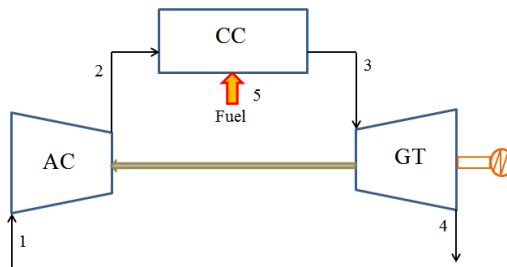
به منظور دستیابی به پارامترهای طراحی و فیزیکی چرخه‌ها، یک کد در نرم افزار مهندسی EES برای هر کدام از چرخه‌ها توسعه داده شده است. فرضیات اعمالی در آنالیز هر یک از چرخه‌ها، در زیر آورده شده است:

- آنالیز ترمودینامیکی چرخه‌ها بر اساس پروسه‌ی حجم کنترل صورت گرفته است.
- چرخه‌های مورد مطالعه در شرایط پایا بررسی شده‌اند.
- افت فشار در لوله‌های ارتباطی بین اجزای چرخه‌ها نادیده گرفته شده است.
- از تغییرات انرژی پتانسیل و جنبشی صرف نظر شده است.
- توربین‌ها، کمپرسور و پمپ به صورت آیزنتروپیکی در نظر گرفته شده‌اند.

در ادامه به طور مفصل به بررسی و آنالیز قانون اول ترمودینامیک (آنالیز انرژی) و قانون دوم ترمودینامیک (آنالیز اگزرسی) بر روی چرخه‌ها پرداخته می‌شود.

۳-۱- آنالیز انرژی

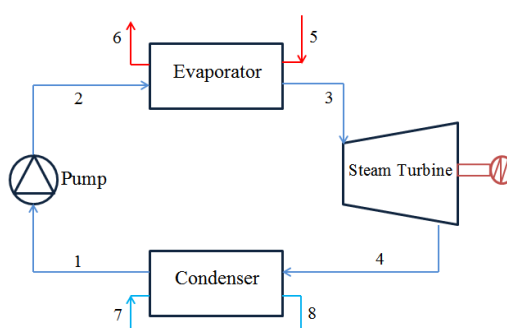
یکی از مهمترین مفاهیم در مطالعه ترمودینامیک مفهوم انرژی است. قانون اول ترمودینامیک بیانی از اصل بقاء انرژی است و بیان می‌کند که انرژی نه تولید می‌شود و نه از بین می‌رود بلکه از یک فرم به فرم دیگر تبدیل می‌شود. با نوشتن قانون اول ترمودینامیک که منجر به نوشتند بالا نس انرژی برای هر جز می‌شود می‌توان نوشت [۱۴].



شکل ۱: شماتیک چرخه‌ی توربین گازی

۲- چرخه‌ی توربین بخار

شماتیکی از این چرخه در شکل (۲) نشان داده شده است. چرخه توربین بخار ساده از چهار جزء اصلی شامل پمپ، اوپراتور، توربین بخار و کندانسور تشکیل شده است. در این چرخه، از آب به عنوان سیال عامل بعد استفاده شده است. کارکرد چرخه بدین صورت است که سیال عامل بعد از پمپ شدن در نقطه ۲ وارد اوپراتور می‌شود. اوپراتور، حرارت را از منبع گرم با نرخ ۲۰ مگاوات دریافت می‌شود. سیال عامل در داخل اوپراتور توسط حرارت دریافتی از منبع گرم در دمای ۷۹۱/۱ کلوین و فشار ۷۰ بار به حالت بخار داغ با دمای ۷۴۱ کلوین و فشار ۷۰ بار تبدیل می‌شود. بخار داغ فشار بالای تولید شده در نقطه ۳ وارد توربین بخار شده و برای تولید توان منبسط می‌شود. سپس بخار فشار پایین خروجی از اوپراتور در نقطه ۴ وارد کندانسور شده و توسط آب عبوری از کندانسور حرارت از دست داده و به سیالی با دمای ۳۹۱ کلوین و فشار ۱/۰ بار تبدیل می‌شود. این مایع وارد پمپ شده و فرآیند ذکر شده در بالا تکرار می‌شود. لازم به ذکر است که برای خنک کاری سیال عامل در کندانسور، آب در دمای ۲۹۸ کلوین و فشار ۱ بار وارد کندانسور شده و در همان فشار و دمای ۳۰۸ کلوین آن را ترک می‌کند. بازده آیزنتروپیکی برای توربین بخار و پمپ به ترتیب عبارت از ۸۰ و ۸۵ درصد در نظر گرفته شده‌اند [۱۳].



شکل ۲: شماتیک چرخه‌ی توربین بخار

۳- چرخه‌ی ترکیبی

در شکل (۳) شماتیکی از چرخه ترکیبی مورد مطالعه در این تحقیق نشان داده شده است. همانطور که قابل مشاهده است این چرخه از ترکیب چرخه‌های توربین گازی و توربین بخار حاصل شده است. نحوه کارکرد چرخه ترکیبی به این صورت است که گازهای داغ خروجی از چرخه توربین گازی وارد اوپراتور می‌شود و به عنوان منبع گرم برای داغ نمودن سیال عامل موجود در چرخه توربین بخار استفاده می‌شود. این به

جدول ۱: معادلات حاصل از اعمال بالانس انرژی برای تک تک اجزای چرخه‌های توربین بخار و ترکیبی

اجزایی چرخه توربین بخار	
$\dot{m}_g = \dot{m}_5 = \dot{m}_6$ ،	$\dot{m}_2 = \dot{m}_3$
$\dot{m}_2(h_3 - h_2) - \dot{m}_g(h_5 - h_6) = 0$	اوپراتور
$\dot{Q}_{Ev} = \dot{m}_3(h_3 - h_2)$	
$\eta_{ST} = \frac{h_{4a} - h_3}{h_{4s} - h_3}$	توربین بخار
$\dot{W}_{ST} = h_{4a} - h_3$	
$\dot{m}_1 = \dot{m}_4$ ، $\dot{Q}_{Cond} = \dot{m}_1(h_4 - h_1)$	کندانسور
$\dot{m}_7 = \dot{m}_8$	
$\dot{m}_1(h_4 - h_1) - \dot{m}_7(h_8 - h_7) = 0$	
$\dot{W}_P = h_2 - h_1$	پمپ

جدول ۱: ادامه

اجزایی چرخه ترکیبی	
$\eta_{AC} = \frac{\bar{h}_{2s} - \bar{h}_1}{\bar{h}_{2a} - \bar{h}_1}$	کمپرسور
$\dot{W}_{AC} = \bar{h}_{2a} - \bar{h}_1$	
$\dot{m}_a h_3 + \dot{m}_F LHV = \dot{m}_g h_4 + \dot{Q}_{CC}$	محفظه احتراق
$\dot{m}_g = \dot{m}_a + \dot{m}_F$	
$\eta_{GT} = \frac{\bar{h}_{5a} - \bar{h}_4}{\bar{h}_{5s} - \bar{h}_4}$	توربین گاز
$\dot{W}_{GT} = \bar{h}_{5a} - \bar{h}_4$	
$\dot{m}_g = \dot{m}_4 = \dot{m}_6$ ، $\dot{m}_7 = \dot{m}_8$	اوپراتور
$\dot{m}_4(h_4 - h_6) - \dot{m}_7(h_8 - h_7) = 0$	
$\dot{Q}_{Ev} = \dot{m}_7(h_8 - h_7)$	
$\eta_{ST} = \frac{h_{9a} - h_8}{h_{9s} - h_8}$	توربین بخار
$\dot{W}_{ST} = h_{9a} - h_8$	
$\dot{m}_9 = \dot{m}_{10}$ ، $\dot{m}_{11} = \dot{m}_{12}$	کندانسور
$\dot{m}_9(h_9 - h_{10}) - \dot{m}_{12}(h_{12} - h_{11}) = 0$	
$\dot{Q}_{Cond} = \dot{m}_{10}(h_9 - h_{10})$	
$\dot{W}_P = h_7 - h_{10}$	پمپ

در انتهای آنالیز انرژی، برای ارزیابی کلی چرخه‌ها از دیدگاه قانون اول ترمودینامیک، بازده انرژی هر سه چرخه‌ی مورد مطالعه در این تحقیق را به طریق زیر محاسبه می‌کنیم:

- بازده انرژی چرخه توربین گازی

$$\left[\sum \dot{Q}_i - \sum \dot{Q}_O + \dot{W} \right] + \sum (\dot{m}h)_i - \sum (\dot{m}h)_O = 0 \quad (1)$$

که در رابطه بالا، $\sum \dot{Q}_O$ ، $\sum \dot{Q}_i$ به ترتیب برابر با مجموع حرارت‌های ورودی، مجموع حرارت‌های خروجی و کار انجام یافته توسط جزء مورد نظر می‌باشند.

با نوشتن بالانس انرژی برای اجزای چرخه توربین گازی خواهیم داشت:

- کمپرسور هوا

بازده آیزونتروپیکی و توان مصرفی کمپرسور هوا از روابط زیر بدست می‌آیند:

$$\eta_{AC} = \frac{\bar{h}_{2s} - \bar{h}_1}{\bar{h}_{2a} - \bar{h}_1} \quad (2)$$

$$\dot{W}_{AC} = \bar{h}_{2a} - \bar{h}_1 \quad (3)$$

توربین گاز •

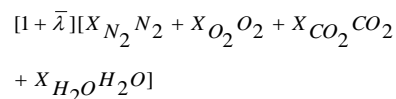
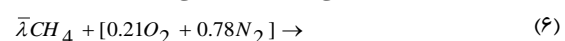
برای محاسبه بازده آیزونتروپیکی و توان تولیدی توربین گاز، روابط زیر به کار می‌روند:

$$\eta_{GT} = \frac{\bar{h}_{5a} - \bar{h}_4}{\bar{h}_{5s} - \bar{h}_4} \quad (4)$$

$$\dot{W}_{GT} = \bar{h}_{5a} - \bar{h}_4 \quad (5)$$

محفظه‌ی احتراق •

احتراق در محفظه‌ی احتراق به صورت کامل انجام می‌شود. برای احتراق کامل متان، معادله احتراقی به صورت زیر می‌باشد [۱۴]:



که با موازنی کربن، نیتروژن، هیدروژن و اکسیژن در دو طرف معادله واکنشی، کسر مولی گونه‌ها بدست می‌آیند. لازم به ذکر است که آنتالپی هوا و محصولات احتراق با استفاده از روابط گاز ایده‌آل برای گونه‌های مختلف و ترکیب آن‌ها بدست می‌آید.

نرخ حرارت تولید شده در محفظه احتراق طبق مرجع [۱۵] از رابطه‌ی زیر بدست می‌آید:

$$\dot{Q}_{CC} = -0.02\dot{n}_f LHV \quad (7)$$

که در آن \dot{n}_f تعداد مول‌های سوخت و $LHV=802361$ kJ/kmol است.

معادلات حاصل از اعمال بالانس انرژی برای تک تک اجزای چرخه‌ی توربین بخار و ترکیبی در جدول (۱) آورده شده است.

در این تحقیق در جدول (۲) آورده شده است.

جدول ۲: معادلات حاصل از اعمال بالانس اگررژی برای تک اجزای چرخه‌های توربین‌گازی، توربین‌بخار و ترکیبی

اجزاءی چرخه توربین گازی	
$\dot{E}_{F,AC} = \dot{W}_{AC}$, $\dot{E}_{P,AC} = \dot{E}_2 - \dot{E}_1$,	کمپرسور هوا
$\dot{E}_{D,AC} = \dot{E}_{F,AC} - \dot{E}_{P,AC}$	
$\dot{E}_{F,CC} = \dot{E}_5$, $\dot{E}_{P,CC} = \dot{E}_3 - \dot{E}_2$,	محفظه احتراق
$\dot{E}_{D,CC} = \dot{E}_{F,CC} - \dot{E}_{P,CC}$	
$\dot{E}_{F,GT} = \dot{E}_3 - \dot{E}_4$, $\dot{E}_{P,GT} = \dot{W}_{GT}$,	توربین گاز
$\dot{E}_{D,GT} = \dot{E}_{F,GT} - \dot{E}_{P,GT}$	
اجزاءی چرخه توربین گازی	
$\dot{E}_{F,EV} = \dot{E}_5 - \dot{E}_6$, $\dot{E}_{P,EV} = \dot{E}_3 - \dot{E}_2$,	اوپراتور
$\dot{E}_{D,EV} = \dot{E}_{F,EV} - \dot{E}_{P,EV}$	
$\dot{E}_{F,ST} = \dot{E}_3 - \dot{E}_4$, $\dot{E}_{P,ST} = \dot{W}_{ST}$,	توربین بخار
$\dot{E}_{D,ST} = \dot{E}_{F,ST} - \dot{E}_{P,ST}$	
$\dot{E}_{F,Cond} = \dot{E}_4 - \dot{E}_1$,	کندانسور
$\dot{E}_{P,Cond} = \dot{E}_8 - \dot{E}_7$,	
$\dot{E}_{D,Cond} = \dot{E}_{F,Cond} - \dot{E}_{P,Cond}$	
$\dot{E}_{F,P} = \dot{W}_P$, $\dot{E}_{P,P} = \dot{E}_2 - \dot{E}_1$,	پمپ
$\dot{E}_{D,P} = \dot{E}_{F,P} - \dot{E}_{P,P}$	
اجزاءی چرخه ترکیبی	
$\dot{E}_{F,AC} = \dot{W}_{AC}$, $\dot{E}_{P,AC} = \dot{E}_2 - \dot{E}_1$,	کمپرسور هوا
$\dot{E}_{D,AC} = \dot{E}_{F,AC} - \dot{E}_{P,AC}$	
$\dot{E}_{F,CC} = \dot{E}_5$, $\dot{E}_{P,CC} = \dot{E}_3 - \dot{E}_2$,	محفظه احتراق
$\dot{E}_{D,CC} = \dot{E}_{F,CC} - \dot{E}_{P,CC}$	
$\dot{E}_{F,GT} = \dot{E}_3 - \dot{E}_4$, $\dot{E}_{P,GT} = \dot{W}_{GT}$,	توربین گاز
$\dot{E}_{D,GT} = \dot{E}_{F,GT} - \dot{E}_{P,GT}$	
$\dot{E}_{F,EV} = \dot{E}_4 - \dot{E}_6$, $\dot{E}_{P,EV} = \dot{E}_8 - \dot{E}_7$,	اوپراتور
$\dot{E}_{D,EV} = \dot{E}_{F,EV} - \dot{E}_{P,EV}$	
$\dot{E}_{F,ST} = \dot{E}_8 - \dot{E}_9$, $\dot{E}_{P,ST} = \dot{W}_{ST}$,	توربین بخار
$\dot{E}_{D,ST} = \dot{E}_{F,ST} - \dot{E}_{P,ST}$	
$\dot{E}_{F,Cond} = \dot{E}_9 - \dot{E}_{10}$,	کندانسور
$\dot{E}_{P,Cond} = \dot{E}_{12} - \dot{E}_{11}$,	
$\dot{E}_{D,Cond} = \dot{E}_{F,Cond} - \dot{E}_{P,Cond}$	

$$(\eta_{FirstLaw})_{GT} = \dot{W}_{net}/\dot{Q}_{CC} \quad (8)$$

$$= (\dot{W}_{GT} - \dot{W}_{AC})/(\bar{h}_3 - \bar{h}_2) \quad \bullet$$

$$(\eta_{FirstLaw})_{ST} = \dot{W}_{net}/\dot{Q}_{Ev} \quad (9)$$

$$= (\dot{W}_{ST} - \dot{W}_P)/(\dot{m}_3(h_3 - h_2)) \quad \bullet$$

$$(\eta_{FirstLaw})_{Combined} = \dot{W}_{net}/\dot{Q}_{CC} \quad (10)$$

$$= (\dot{W}_{GT} + \dot{W}_{ST} - \dot{W}_P)/(\bar{h}_3 - \bar{h}_2)$$

۲-۳- آنالیز اگررژی

اگررژی را می‌توان به ۴ مولفه‌ی مجزا از هم تقسیم نمود، اگررژی جنبشی (E^{KN}), اگررژی پتانسیل (E^{PT}), اگررژی فیزیکی (E^{CH}) و اگررژی شیمیایی (E). مهمترین آن‌ها اگررژی فیزیکی و شیمیایی می‌باشد و در این مقاله از دو مولفه دیگر یعنی اگررژی جنبشی و پتانسیل صرف نظر شده است [۷]. اگررژی فیزیکی معادل حداکثر کار قابل حصول است، زمانیکه جریان ماده توسط فرآیندهای فیزیکی که تنها شامل برهم کنش حرارتی با محیط می‌باشند، از حالت اولیه به حالت محیطی برسد.

$$\dot{E}^{PH} = (h_i - h_o) - T_0(s_i - s_o) \quad (11)$$

در رابطه فوق، T دمای مطلق بر حسب درجه کلوین می‌باشد و زیرنویس ۰ بیانگر محیط است. اگررژی شیمیایی متناسب با انحراف ترکیب شیمیایی از حالت تعادل شیمیایی خود می‌باشد، اگررژی شیمیایی بخش مهمی از اگررژی در فرآیندهای شامل احتراق می‌باشد. اگررژی شیمیایی برابر با ماکریتم کار تولید شده در حالت است که، گونه‌های شیمیایی سیستم امکان مخلوط شدن و واکنش شیمیایی، با گونه‌های موجود در محیط را دارا می‌باشد. این واکنش‌ها باعث تولید کار اضافی می‌شود که اگررژی شیمیایی نام دارد [۶].

$$e^{CH} = \sum x_K \bar{e}_K^{CH} + \bar{R} T_0 \sum x_K \ln x_K \quad (12)$$

در این رابطه، x_K کسر مولی جزء k ام مخلوط و \bar{e}_K^{CH} اگررژی مولار آن می‌باشد. در نتیجه نرخ اگررژی جزء k ام برابر است با:

$$\dot{E} = \dot{E}^{PH} + \dot{E}^{CH} \quad (13)$$

جهت تعیین تخریب اگررژی یا همان نابودی اگررژی که پارامتری مهم در تبدیل انرژی می‌باشد از موازنی اگررژی برای هر جزء سیستم استفاده می‌شود. در حالت کلی معادله آنگه بالانس اگررژی را برای یک حجم کنترل پایا می‌تواند به صورت زیر نوشته شود [۱۶]:

$$\dot{E}_{F,k} = \dot{E}_{P,k} + \dot{E}_{D,k} \quad (14)$$

که در آن $\dot{E}_{F,k}$, $\dot{E}_{P,k}$ و $\dot{E}_{D,k}$ به ترتیب عبارت از اگررژی ورودی، اگررژی تولیدی و نرخ نابودی اگررژی برای جزء k ام می‌باشند. نسبت نابودی اگررژی هر یک از اجزا به صورت نرخ نابودی اگررژی هر جزء به نابودی اگررژی کل سیستم تعریف می‌شود و به عنوان ملاکی جهت تعیین نقاط ضعف سیستم ارائه می‌شود [۱]:

$$y_{D,k}^* = \dot{E}_{D,k} / \dot{E}_{D,tot} \quad (15)$$

معادله بالانس اگررژی برای تک اجزای سه چرخه‌ی مورد مطالعه

.	.	۳۱۸	۱	۲۹۸/۲	آب	۷
.	۰/۲	۳۱۸	۱	۳۰۸	آب	۸
جدول ۳: ادامه						
چرخه ترکیبی						
.	.	۳۶/۸۴	۱	۲۹۸/۲	هوای	۱
.	۱۴/۳	۳۶/۸۴	۱۶	۶۸۰/۷	هوای	۲
۰/۱۵	۳۷/۶	۳۷/۵۵	۱۷	۱۴۰۰	گاز داغ	۳
۰/۱۵	۸/۳	۳۷/۵۵	۱	۷۹۱/۱	گاز داغ	۴
۳۵/۶	۰/۲۲	۰/۷۱	۱	۲۹۸/۲	متنان	۵
۰/۱۵	۴/۰۳	۳۷/۵۵	۱	۳۲۱/۹	گاز داغ	۶
.	۰/۰۷	۶/۳	۷۰	۳۱۶/۸	آب	۷
.	۸/۶۱	۶/۳	۷۰	۷۶۱	بخار	۸
.	۰/۸۹	۶/۳	۰/۱	۳۱۹	بخار	۹
.	۰/۰۱۶	۶/۳	۰/۱	۳۱۸/۲	آب	۱۰
.	.	۳۱۸	۱	۲۹۸/۲	آب	۱۱
.	۰/۲۱	۳۱۸	۱	۳۰۵/۲	آب	۱۲

نتایج حاصل برای اگزرزی ورودی، اگزرزی تولیدی و نابودی اگزرزی تک تک اجزای چرخه‌ها در جدول ۵ آورده شده است. همچنین در این جدول مقدار اگزرزی داده شده به محیط ($\dot{E}_L (MW)$) نیز برای هر سه چرخه ذکر شده است.

* همانطور که قبل از ذکر شد، y_D سهم نابودی اگزرزی هر جزو از کل نابودی را نشان می‌دهد، از اینرو در جدول ۵ برای چرخه توربین گازی مشاهده می‌شود که در بین اجزای این چرخه، تقریباً ۸۶٪ کل نابودی در محفظه احتراق اتفاق افتاده است. محفوظه احتراق دارای بیشترین نرخ نابودی اگزرزی است. این جزو به علت واکنش شیمیایی که در آن رخ می‌دهد، منبع مهم نابودی اگزرزی می‌باشد. و به ترتیب توربین گازی و کمپرسور هوا در جایگاه‌های بعدی قرار دارند.

از نتایج آنالیز اگزرزی نشان داده شده برای چرخه توربین بخار در جدول (۴) می‌توان مشاهده کرد که اوپرатор با ۶/۹ مگاوات نابودی اگزرزی بالاترین نرخ نابودی اگزرزی را به خود اختصاص داده است. در اجزای چرخه ترکیبی، اجزای محفوظه احتراق، اوپرатор، توربین گاز و کمپرسور هوا به ترتیب با مقادیر ۱۱، ۳/۶ و ۰/۸ بیشترین مقدار نابودی اگزرزی را دارند. همچنین اجزای توربین گاز، کمپرسور هوا، پمپ و توربین بخار با مقادیر ۰/۸۵، ۰/۹۴/۶ و ۰/۸۸ به ترتیب بیشترین بازده قانون دوم را دارند.

از مقایسه نتایج حاصل برای چرخه ترکیبی با نتایج حاصل برای چرخه توربین گازی می‌توان نتیجه گرفت که عملکرد محفوظه احتراق به عنوان جزوی از سیستم که بیشترین میزان انتلاف اگزرزی در آن رخ می‌دهد در چرخه ترکیبی بهتر از چرخه توربین گازی است. چراکه نرخ نابودی اگزرزی در این جزو از ۱۲/۳ مگاوات در چرخه توربین گازی به ۱۱ مگاوات (در حدود ۱۰٪) در چرخه ترکیبی کاهش یافته است.

$$\dot{E}_{F,P} = \dot{W}_P, \dot{E}_{P,P} = \dot{E}_7 - \dot{E}_{10}, \quad \text{پمپ}$$

$$\dot{E}_{D,P} = \dot{E}_{F,P} - \dot{E}_{P,P}$$

و در انتهای آنالیز اگزرزی چرخه‌ها، به منظور ارزیابی کلی چرخه‌ها از دیدگاه قانون دوم ترمودینامیک به محاسبه بازده اگزرزی چرخه به طریق زیر پرداخته می‌شود:

- بازده اگزرزی چرخه توربین گازی

$$(\varepsilon_{SecondLaw})_{GT} = \dot{W}_{net} / \dot{E}_{in} \quad (16)$$

$$= (\dot{W}_{GT} - \dot{W}_{AC}) / (\dot{E}_1 + \dot{E}_{10})$$

- بازده اگزرزی چرخه توربین بخار

$$(\varepsilon_{SecondLaw})_{ST} = \dot{W}_{net} / \dot{E}_{in} \quad (17)$$

$$= (\dot{W}_{ST} - \dot{W}_P) / (\dot{E}_5)$$

- بازده اگزرزی چرخه ترکیبی

$$(\varepsilon_{SecondLaw})_{Combined} = \dot{W}_{net} / \dot{E}_{in} \quad (18)$$

$$= (\dot{W}_{GT} + \dot{W}_{ST} - \dot{W}_P) / (\dot{E}_1 + \dot{E}_{10})$$

۴- نتایج و بحث

۴-۱- نتایج حاصل از آنالیز انرژی و اگزرزی چرخه‌ها

مقادیر دما، فشار، دبی جرمی، اگزرزی فیزیکی و اگزرزی شیمیایی در نقاط مختلف چرخه‌های توربین گازی، توربین بخار و ترکیبی در جدول (۳) گنجانده شده است.

جدول ۳: نتایج حاصل از آنالیز ترمودینامیکی چرخه‌های توربین گازی، توربین بخار و ترکیبی

چرخه توربین گاز ساده						
\dot{E}_{CH} (MW)	\dot{E}_{PH} (MW)	\dot{m} (kg/s)	P [bar]	T [K]	سائل عامل	نقشه حالات
.	.	۳۶/۸	۱	۲۹۸/۲	هوای	۱
.	۱۴/۳	۳۶/۸	۱۶	۶۸۰/۷	هوای	۲
۰/۱۵	۳۷/۶	۳۷/۶	۱۵/۷	۱۴۰۰	گاز داغ	۳
۰/۱۵	۸/۳	۳۷/۶	۱	۷۹۱/۱	گاز داغ	۴
۳۵/۶	۰/۲۲	۰/۸	۸	۲۹۸/۲	سوخت	۵
چرخه توربین بخار ساده						
.	۰/۰۱۶	۶/۳	۰/۱	۳۱۸/۲	آب	۱
.	۰/۰۷	۶/۳	۷۰	۳۱۶/۸	آب	۲
.	۸/۶۲	۶/۳	۷۰	۷۴۱	بخار	۳
.	۰/۰۸۸	۶/۳	۰/۱	۳۱۹	بخار	۴
۰/۱۵	۲۰/۶	۳۷/۶	۱	۷۹۱/۱	گاز داغ	۵
۰/۱۵	۴/۰۴	۳۷/۶	۱	۴۱۱/۲	گاز داغ	۶

	چرخه توربین بخار	چرخه توربین گاز	چرخه توربین بازده (%)
۵۷/۸۷	۳۳/۲	۳۸/۳۱	قانون اول ترمودینامیک
۵۴/۸۵	۳۲/۱	۳۶/۳۲	قانون دوم ترمودینامیک

همانطور که در جدول (۵) مشاهده می‌شود، بازده قانون اول چرخه ترکیبی به طور قابل ملاحظه‌ای از بازده قانون اول چرخه‌های توربین گازی و توربین بخار بالاتر است. این بدین علت است که، در چرخه ترکیبی $19/2$ مگاوات توان تولید می‌شود. در حالیکه در چرخه توربین گاز به مقدار 13 مگاوات و در چرخه توربین بخار به مقدار $6/6$ مگاوات توان تولید می‌شود. از اینرو بازده قانون اول از مقدار $38/3$ % برای چرخه توربین گازی و از مقدار $33/2$ % برای چرخه توربین بخار به مقدار $57/9$ % در چرخه ترکیبی افزایش یافته است.

و همچنین در جدول (۵) قابل مشاهده است که بازده قانون دوم برای چرخه ترکیبی برابر با $54/85$ % است که در مقایسه با دو چرخه دیگر به مقدار قابل توجهی بیشتر است. علت این امر نیز همانطور که در بخش پیشین در تحلیل نتایج آنالیز اگزرسی گفته شد، این است که در چرخه ترکیبی مقدار نابودی اگزرسی به مقدار قابل توجهی نسبت به دو چرخه دیگر کاهش یافته و در نتیجه موجب افزایش بازده شده است.

در نهایت با توجه به نتایج حاصل از آنالیز قانون اول و دوم ترمودینامیک که برای هر سه چرخه تولید توان مورد مطالعه در این تحقیق مورد بررسی قرار گرفت. می‌توان به این ادعا رسید که چرخه ترکیبی با استفاده از حرارت اقلافی نیروگاه توربین گازی برای گرم کردن سیال عامل نیروگاه توربین بخار، موجب کاهش قابل ملاحظه‌ای در میزان نابودی اگزرسی، کاهش سوت مصرفی، افزایش توان تولیدی و افزایش بازده کلی نیروگاه شده است. و از اینرو استفاده از این چرخه هم از لحاظ اقتصادی، هم از لحاظ زیست محیطی و هم کارایی مرقوم به صرفه است.

۴-۳- نتایج حاصل از تحلیل پارامتری چرخه‌های مورد مطالعه

در این بخش به تفصیل در مورد تاثیر پارامترهای مختلف همچون دمای هوای ورودی به کمپرسور، بازده آبیزونتروپیکی کمپرسور هوا، دمای ورودی توربین گازی، بازده آبیزونتروپیکی توربین گازی، دمای اواپراتور و دمای کندانسور بر روی بازده قانون اول و دوم ترمودینامیک و توان تولیدی چرخه‌ها و ... بحث و بررسی می‌شود.

• تاثیر دمای هوای ورودی کمپرسور (T_{Comp})

T_{Comp} ، نخستین پارامتری است که در این بخش مورد بررسی قرار می‌گیرد. نتایج حاصل از تاثیر T_{Comp} بر روی بازده قانون اول چرخه توربین گازی ($\eta_{GasTurbineCycle}$)، بازده قانون اول چرخه ترکیبی ($\eta_{CombinedCycle}$)، بازده قانون دوم چرخه توربین گاز ($\varepsilon_{GasTurbineCycle}$)، بازده قانون دوم چرخه ترکیبی ($\varepsilon_{CombinedCycle}$) و همچنین تاثیر T_{Comp} بر روی کل نابودی

بنابراین، نه تنها در محفظه احتراق مصرف سوت کاهش می‌یابد، بلکه فرآیند احتراق بسیار کارآمدتر خواهد بود.

همچنین با مقایسه نتایج حاصل برای چرخه ترکیبی با نتایج حاصل برای چرخه توربین بخار می‌توان نتیجه گرفت که در چرخه ترکیبی مقدار نابودی اگزرسی اجزای توربین بخار به میزان قابل توجهی نسبت به چرخه توربین بخار کاهش یافته‌اند. به عنوان مثال نابودی اگزرسی در اواپراتور از $6/9$ مگاوات در چرخه توربین بخار به $3/6$ مگاوات در چرخه ترکیبی کاهش یافته است.

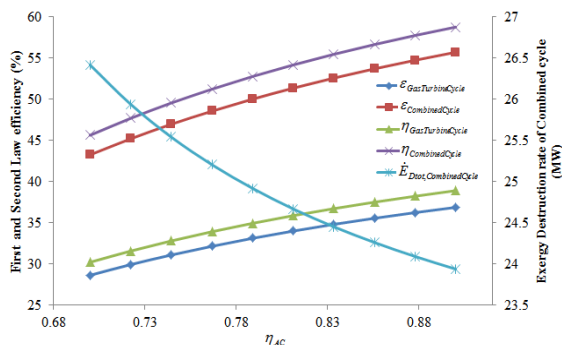
جدول ۴: نتایج حاصل برای اگزرسی ورودی، تولیدی و اقلافی چرخه‌های توربین- گازی، توربین بخار و ترکیبی

چرخه توربین گاز ساده						
y_D^*	ε (%)	\dot{E}_L (MW)	\dot{E}_D (MW)	\dot{E}_P (MW)	\dot{E}_F (MW)	جزء
۵/۷	۹۴/۶	-	۰/۸۲	۱۴/۳	۱۵/۲	کمپرسورهوا
۸۵/۷	۶۵/۶	-	۱۲/۳	۳۷/۸	۵۰/۱	محفظه احتراق
۸/۶	۹۵/۸	۱۱/۴	۱/۲۳	۲۸/۱	۲۹/۳	توربین گاز
۱۰۰	۳۶/۳	۱۱/۴	۱۴/۴	۱۳	۳۸/۸	عملکردکلی
چرخه توربین بخار ساده						
۸۳/۲	۵۱/۷	۵/۷	۶/۹۳	۸/۵۶	۱۵/۵	اوپراتور
۹/۶	۸۵/۵	-	۰/۸	۶/۶۳	۷/۴	توربین بخار
۷/۲	۲۴/۴	-	۰/۶	۰/۲۱	۰/۸۷	کندانسور
۱۰۰/۵	۸۸	-	۱۰۰/۵	۱۰۰/۳	۱۰۰/۴	پمپ
۱۰۰	۳۲/۱	۵/۷	۸/۳۳	۶/۶۳	۲۰/۷	عملکرد کلی
چرخه ترکیبی						
۴/۶	۹۴/۶	-	۰/۸	۱۴/۳	۱۵/۱	کمپرسور هوا
۶۳/۴	۶۵/۶	-	۱۱/۱	۳۸/۹	۵۰	محفظه احتراق
۵/۷	۹۵/۸	-	۱	۲۸	۲۹/۲	توربین گاز
۲۰/۶	۵۱/۷	۱/۲	۳/۶	۸/۵	۱۵/۵	اوپراتور
۳/۴۳	۸۵/۸	-	۰/۶	۶/۶۳	۷/۴۳	توربین بخار
۲/۳	۲۴/۴	-	۰/۴	۰/۲۱	۰/۸۷	کندانسور
۱۰۰/۱	۸۸	-	۱۰۰/۲	۱۰۰/۴	۱۰۰/۴	پمپ
۱۰۰	۵۴/۸	۱/۲	۱۷/۵	۱۹/۲	۳۸/۸	عملکرد کلی

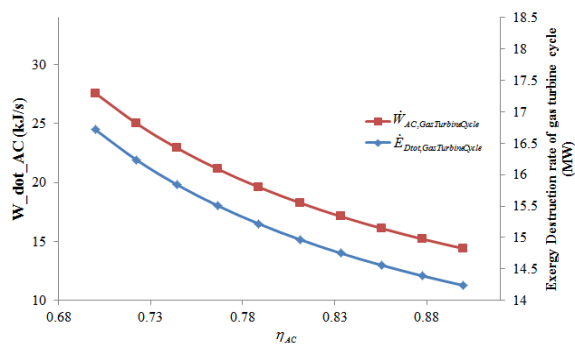
۴-۲- مقایسه عملکرد چرخه‌های مورد مطالعه

نتایج مندرج در جدول (۵) این امکان را فراهم می‌کند تا بازده قانون اول و دوم ترمودینامیک هر سه چرخه مورد مطالعه با یکدیگر مقایسه شوند.

جدول ۵: مقایسه عملکرد چرخه‌های توربین گازی، توربین بخار و ترکیبی



شکل ۵: تأثیر بازده آبیزونتروپیک کمپرسور هوا بر روی بازده‌های قانون اول و دوم ترمودینامیک و کل نرخ نابودی اگررژی در چرخه توربین گازی و چرخه ترکیبی



شکل ۶: تأثیر بازده آبیزونتروپیک کمپرسور هوا بر روی توان مصرفی کمپرسور هوا و کل نرخ نابودی اگررژی در چرخه توربین گازی

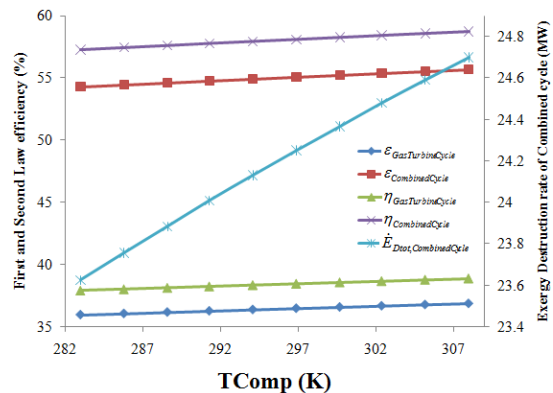
همانطور که از دو شکل (۵) و (۶) قابل مشاهده است، افزایش بازده آبیزونتروپیکی موجب کاهش کار مصرفی کمپرسور به میزان ۴٪ شده و از مقدار ۲۷ به مقدار ۱۴ مگاوات می‌رسد. که این امر موجب افزایش توان تولیدی چرخه توربین گازی می‌شود از طرفی افزایش این پارامتر موجب کاهش نرخ نابودی اگررژی در هر دو چرخه توربین گازی و ترکیبی می‌شود. در نتیجه بازده قانون اول و دوم ترمودینامیک که به صورت نسبت توان تولیدی به توان ورودی تعریف می‌شوند در هر دو چرخه توربین گازی و ترکیبی به ترتیب در حدود ۲۸/۱ و ۲۸/۹ درصد افزایش یافته و بازده قانون دوم در چرخه ترکیبی از مقدار ۴۲/۷ به ۵۵٪ می‌رسد.

• تأثیر دمای ورودی توربین گازی (T_3)

در شکل ۷ تأثیر T_3 بر روی توان تولیدی توربین گازی، توان مصرفی کمپرسور هوا و کل نرخ نابودی اگررژی در چرخه توربین گازی نشان داده شده است.

همچنین در شکل ۸ تأثیر T_3 بر روی بازده‌های قانون اول و دوم ترمودینامیک و کل نرخ نابودی اگررژی در چرخه توربین گازی و چرخه ترکیبی نشان داده شده است.

اگررژی چرخه ترکیبی ($\dot{E}_{Dtot,CombinedCycle}$) در شکل (۴) قابل مشاهده است.



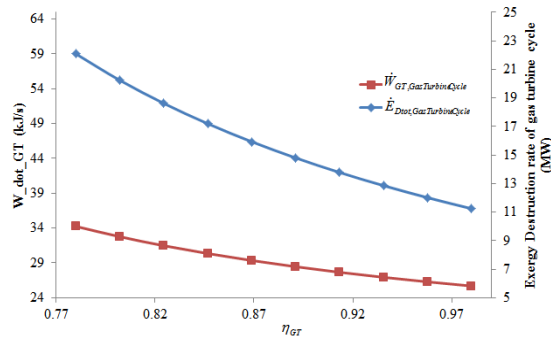
شکل ۴: تأثیر دمای هوا ورودی کمپرسور بر روی بازده‌های قانون اول و دوم ترمودینامیک و کل نرخ نابودی اگررژی در چرخه توربین گازی و چرخه ترکیبی

همانگونه که از شکل (۴) قابل مشاهده است، با افزایش T_{Comp} از ۲۸۳ تا ۳۰۸ کلوین افزایش کمی در بازده‌ها اتفاق افتاده است. و بازده قانون اول در چرخه‌های توربین گازی و ترکیبی در حدود ۰.۲/۵٪ افزایش از خود نشان داده‌اند. و نیز بازده اگررژی چرخه‌های توربین گاز و ترکیبی به ترتیب از ۳۵/۹۵٪ به ۳۶/۸٪ و از ۵۴/۳٪ به ۵۵/۷٪ افزایش یافته‌اند.

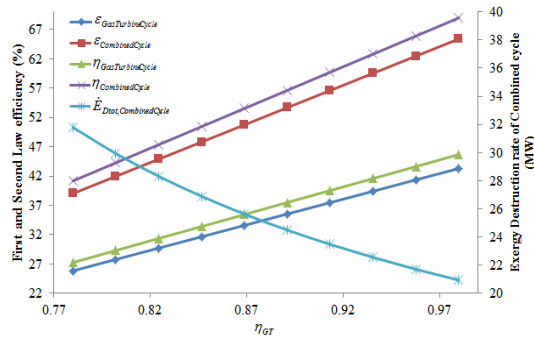
همچنین از شکل (۴) قابل مشاهده است که افزایش دمای هوا ورودی به کمپرسور موجب روندی افزایشی (در حدود ۰.۴٪) در مقدار کل نرخ نابودی اگررژی چرخه ترکیبی شده است. علت این امر ناشی از این است که، با افزایش دمای هوا ورودی به کمپرسور هوا، نرخ نابودی اگررژی در جزای کمپرسور هوا، محفظه احتراق و توربین گازی به مقدار کمی افزایش می‌آید که به موجب آن، کل نرخ نابودی اگررژی روندی افزایشی از خود نشان می‌دهد. رخداد چنین حالتی به نظر می‌آید که با روند افزایش بازده‌ها در نتاقض باشد ولی باید ذکر کرد که مقدار افزایش توان رخداد در مقابل افزایش نابودی اگررژی رخداد بیشتر است که به موجب آن بازده‌های اگررژی روندی افزایشی از خود نشان داده‌اند.

• تأثیر بازده آبیزونتروپیکی کمپرسور هوا (η_{AC})

تأثیر η_{AC} بر روی بازده‌های قانون اول و دوم ترمودینامیک و کل نرخ نابودی اگررژی در چرخه توربین گازی و چرخه ترکیبی در شکل (۵) نشان داده شده است. همچنین در چرخه توربین گازی، تأثیر η_{AC} بر روی توان مصرفی کمپرسور هوا و کل نرخ نابودی اگررژی این چرخه در شکل ۶ نشان داده شده است.



شکل ۹: تاثیر بازده آبیزونتروپیک توربین گاز بر روی توان تولیدی توربین گازی و نرخ نابودی اگررژی در چرخه توربین گازی

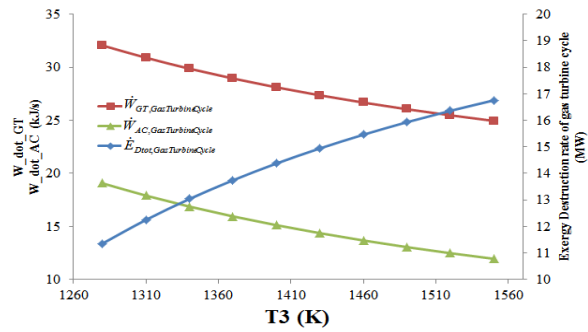


شکل ۱۰: تاثیر بازده آبیزونتروپیک توربین گاز بر روی بازده‌های قانون اول و دوم ترمودینامیک و کل نرخ نابودی اگررژی در چرخه توربین گازی و چرخه ترکیبی

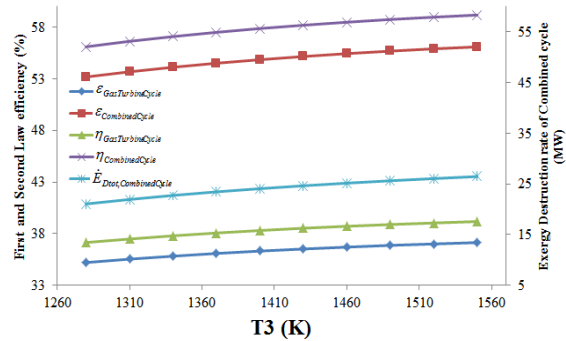
همانطور همانطور که از شکل (۹) قابل مشاهده است، افزایش بازده آبیزونتروپیکی توربین گاز موجب کاهش نرخ نابودی اگررژی به مقدار ۵۰ درصد و همچنین موجب کاهش توان تولیدی توربین گاز به مقدار ۲۶ درصد در چرخه توربین گازی شده است. به عبارتی میزان کاهش نرخ نابودی اگررژی بسیار قابل ملاحظه‌تر از کاهش توان تولیدی توربین است. از اینرو این امر موجب افزایش در بازده‌های چرخه توربین گازی در شکل ۱۰ شده است، به طوریکه بازده قانون اول از ۴۵٪ به ۴۵٪ و بازده قانون دوم از ۲۵٪ به ۴۳٪ در چرخه توربین گازی افزایش یافته‌اند. همچنین از شکل ۱۰ مشاهده می‌شود که افزایش بازده آبیزونتروپیکی توربین گاز موجب کاهش کل نرخ نابودی اگررژی به مقدار ۳۵ درصد در چرخه ترکیبی شده است. به طوریکه نرخ نابودی اگررژی از مقدار ۳۱ به ۲۰ مگاوات کاهش یافته است.

• تاثیر دمای اوپراتور (T_E)

تاثیر T_E بر روی کل توان تولیدی و کل نرخ نابودی اگررژی در چرخه توربین بخار در شکل (۱۱) نشان داده شده است. همچنین تاثیر T_E بر روی بازده‌های قانون اول و دوم ترمودینامیک و کل نرخ نابودی اگررژی در چرخه توربین بخار و چرخه ترکیبی در شکل (۱۲) نشان داده شده است.



شکل ۷: تاثیر دمای ورودی توربین گازی بر روی توان تولیدی توربین گازی، توان مصرفی کمپرسور هوای کل نرخ نابودی اگررژی در چرخه توربین گازی



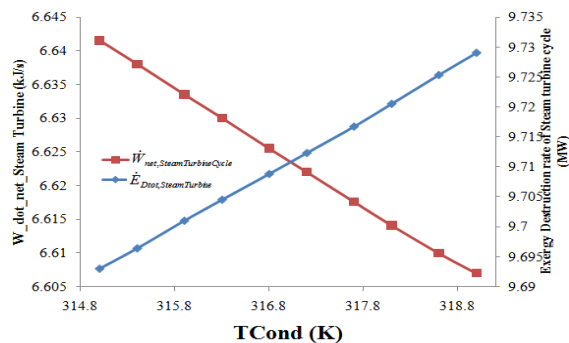
شکل ۸: تاثیر دمای ورودی توربین گازی بر روی بازده‌های قانون اول و دوم ترمودینامیک و کل نرخ نابودی اگررژی در چرخه توربین گازی و چرخه ترکیبی

همانگونه که از شکل‌های (۷) و (۸) قابل مشاهده است، با افزایش T_3 ، مصرف سوخت افزایش می‌یابد در نتیجه نرخ نابودی اگررژی در محظله احتراق افزایش یافته که این موجب افزایش کل نرخ نابودی اگررژی در چرخه ترکیبی به مقدار ۲۶٪ درصد شده و از ۲۱ به ۲۶/۵ مگاوات می‌رسد. توان مصرفی کمپرسور هوای توان تولیدی توربین گاز به ترتیب به مقادیر ۳۶٪ و ۲۵٪ کاهش یافته‌اند.

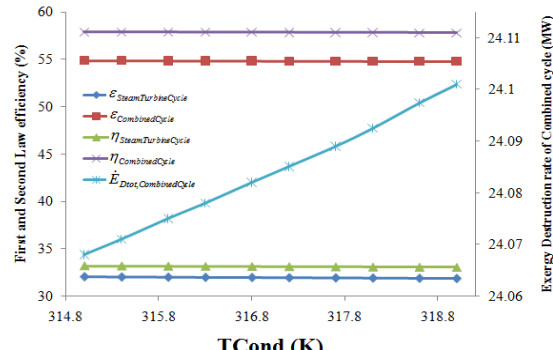
افزایش دمای ورودی توربین گاز موجب افزایش بازده قانون اول و دوم در چرخه‌های توربین گازی و ترکیبی به مقدار تقریباً ۵٪ افزایش یافته‌اند. به این ترتیب بازده قانون دوم در چرخه توربین گازی از ۳۷٪ به ۳۵٪ رسیده و در چرخه ترکیبی از ۵۳٪ به ۵۶٪ رسیده است.

• تاثیر بازده آبیزونتروپیکی توربین‌بخار (η_{GT})

تاثیر η_{GT} بر روی توان تولیدی توربین گازی و نرخ نابودی اگررژی در چرخه توربین گازی در شکل (۹) نشان داده شده است. همچنین تاثیر η_{GT} بر روی بازده‌های قانون اول و دوم ترمودینامیک و کل نرخ نابودی اگررژی در چرخه توربین گازی و چرخه ترکیبی در شکل (۱۰) نشان داده شده است.



شکل ۱۳: تاثیر دمای کندانسور بر روی کل توان تولیدی و کل نرخ نابودی اگزرسی در چرخه توربین بخار در مقایسه بازده های قانون اول و دوم ترمودینامیک



شکل ۱۴: تاثیر دمای کندانسور بر روی بازده های قانون اول و دوم ترمودینامیک و کل نرخ نابودی اگزرسی در چرخه توربین بخار و چرخه ترکیبی

۵- نتیجه گیری کلی

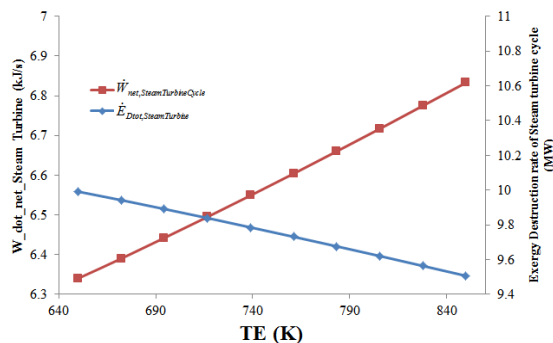
در سال های اخیر چرخه های ترکیبی به دلیل بازدهی بیشتر، اثرات مخرب زیست محیطی کمتر و صرفه اقتصادی، مورد توجه قرار گرفته اند. از اینرو آنالیز و بررسی این چرخه ها برای دستیابی به چرخه هایی کارآمدتر با هزینه های کمتر، مصرف سوخت پایین تر و اثرات زیست محیطی مناسب تر، اهمیت ویژه ای پیدا می کند. همچنین تحلیل اگزرسی این چرخه ها به طراحان کمک می کند تا درک بهتری از ناکارآمدی های سیستم و اجزای سیستم به منظور بهینه سازی عملکرد سیستم داشته باشند.

در مقاله حاضر، ابتدا یک چرخه تولید توان توربین گازی که ۱۳ مگاوات توان تولید می کند، و یک چرخه توربین بخار که ۶ مگاوات توان تولید می کند مورد آنالیز انرژی و اگزرسی قرار گرفت. سپس این دو چرخه با هم کوپل شد و چرخه ترکیبی با توانی معادل ۱۹ مگاوات ایجاد شد، و این چرخه ترکیبی نیز مورد آنالیز انرژی و اگزرسی قرار گرفت. سپس نتایج حاصل از این سه چرخه با هم مورد مقایسه و بررسی قرار گرفت. در نهایت، به منظور درک تاثیر پارامترها بر روی عملکرد چرخه ها یک مطالعه پارامتریکی بر روی چرخه های ذکر شده انجام شد. در ادامه به اهم نتایج حاصل از این تحقیق اشاره می شود:

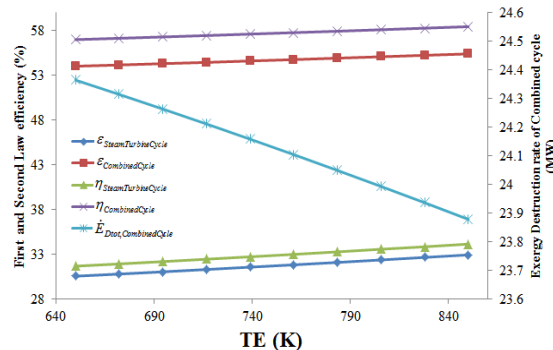
۱- مقدار مصرف سوخت در چرخه ترکیبی به مقدار ۱۱ درصد در مقایسه با چرخه توربین گازی کاهش یافته است.

۲- در اجزای چرخه ترکیبی، محفظه احتراق، اوپراتور، توربین گاز و کمپرسور هوا به ترتیب با مقادیر ۱۱، ۳/۶، ۱ و ۰/۸ بیشترین مقدار نابودی اگزرسی را دارند.

۳- بازده قانون دوم برای چرخه ترکیبی برابر با ۵۴/۸۵٪ است که در مقایسه با دو چرخه دیگر به مقدار قابل توجهی بیشتر



شکل ۱۱: تاثیر دمای اوپراتور بر روی کل توان تولیدی و کل نرخ نابودی اگزرسی در چرخه توربین بخار



شکل ۱۲: تاثیر دمای اوپراتور بر روی بازده های قانون اول و دوم ترمودینامیک و کل نرخ نابودی اگزرسی در چرخه توربین بخار و چرخه ترکیبی

همانطور که از شکل (۱۱) قابل مشاهده است، افزایش دمای اوپراتور موجب کاهش اندکی (در حدود ۴ درصد) در کل نرخ نابودی اگزرسی و افزایش اندکی (در حدود ۷/۷٪) در توان تولیدی چرخه توربین بخار می شود. از اینرو بازده قانون اول یعنی چرخه به مقدار ۷/۷ درصد افزایش یافته و از ۳۱/۷٪ به ۳۴/۲٪ می رسد. و بازده قانون دوم این چرخه با کاهش نرخ نابودی اگزرسی چرخه به مقدار ۸/۷٪ درصد افزایش یافته و از ۳۰/۶٪ به ۳۲/۹٪ می رسد. همچنین می توان در شکل (۱۲) مشاهده کرد که افزایش دمای اوپراتور موجب کاهش کل نرخ نابودی اگزرسی در چرخه ترکیبی شده و به موجب این امر بازده قانون دوم این چرخه افزایش یافته است. در این چرخه، کل نرخ نابودی اگزرسی به مقدار ۲ درصد کاهش یافته و بازده قانون دوم به مقدار ۱/۸ درصد افزایش یافته است.

• تاثیر دمای کندانسور (T_{Cond})

دمای کارکرد کندانسور آخرین پارامتری است که در این بخش مورد بررسی و تحلیل قرار می گیرد. تاثیر T_{Cond} بر روی کل توان تولیدی و کل نرخ نابودی اگزرسی در چرخه توربین بخار در شکل (۱۳) قابل مشاهده است. و تاثیر دمای کندانسور بر روی بازده های قانون اول و دوم ترمودینامیک و کل نرخ نابودی اگزرسی در چرخه توربین بخار و چرخه ترکیبی در شکل (۱۴) قابل مشاهده است.

است.

-۴ افزایش دمای هوای ورودی به کمپرسور موجب افزایشی در حدود ۴ درصد در نابودی اگزوزی چرخه ترکیبی شده است. افزایش دمای ورودی توربین، موجب افزایش کل نرخ نابودی اگزوزی در چرخه ترکیبی به مقدار ۲۶٪ درصد شده و از ۲۱ به ۲۶/۵ مگاوات می‌رسد.

فهرست علائم

نرخ اگزوزی، (kW)	\dot{E}
ارزش حرارتی پایین، (MJ/kg)	LHV
دبی جرمی، (kg/s)	\dot{m}
(bar)	P
نرخ انتقال گرما، (kW)	\dot{Q}
آنالپی، (kJ/kg)	H
دما، (K)	T
علایم یونانی	
اختلاف	Δ
بازده	η
بازده اگزوزی	ε
نسبت سوخت به هوا	λ
بالانویس‌ها	
شیمیابی	CH
فیزیکی	PH
پتانسیلی	PT
جنبشی	KN
زیرنویس‌ها	
محیط ترمودینامیکی	0
کمپرسور هوا	AC
هوا	Air
بویلر	Boiler
محفظه احتراق	CC
کندانسور	Cond
نابودی	D
خروجی	E
اوپراتور	EV
سوخت (اگزوزی)	F
توربین گاز	GT
وروودی	i
جزء k ام	k
اتلافی به محیط	L
تولیدی	P
پمپ	pump
توربین بخار	ST
کلی	tot

مراجع

- [1] Ghaebi, H., Amidpour, M., Karimkashi, Sh., Rezayan, O., "Energy, exergy and thermoeconomic analysis of a combined cooling, heating and power (CCHP) system with gas turbine prime mover," International Journal of Energy Research, Vol. 35, pp. 697-709, 2011.

- [10] Chyou, Y.P., Chiu, H.M., Chen, P.C., "Potential assessment on gas turbine combined cycle with alternative gaseous fuel from coal gasification," *Clean Technologies and Environmental Policy*, Vol 18, 185-194, 2016.
- [11] Sharma, M., Singh, O., "exergy analysis of dual pressure HRSG for different dead states and varying steam generation states in gas/steam combined cycle power plant," *Applied Thermal Engineering*, Vol 93, 614-622, 2016.
- [12] Ghazikhani, M., Passandideh, F.M., Mousavi, M., "Two new high performance cycles for gas turbine with air bottoming," *Energy*, Vol 36, 294-304, 2011.
- [13] Safarian, S., Aramoun, F., "Energy and exergy assessments of modified Organic Rankine Cycles (ORCs)," *Energy Reports* 1, pp1–7, 2015.
- [14] Anvari, S., Taghavifar, H., Saray, R.KH., Khalilarya, SH., Jafarmadar, S., "Implementation of ANN on CCHP system to predict trigeneration performance with consideration of various operative factors," *Energy Conversion and Management*, Vol. 101, pp 503-514, 2015.
- [15] Bejan, A. and Moran, M.J., "Thermal design and optimization," 1996: Wiley. com.
- [16] Anvari, S., Saray, R.KH., Bahlouli, K., "Conventional and advanced exergetic and exergoeconomic analyses applied to a tri-generation cycle for heat, cold and power production," *Energy*, Vol. 91, 925-939, 2015.
- [2] Liu, M., Shi, Y., Fang, F., "Combined cooling, heating and power systems: A survey." *Renewable and Sustainable Energy Reviews*, Vol. 35, 1-22, 2014.
- [3] Coplan, CO., "Exergy analysis of combined cycle cogeneration systems," A thesis submitted to the Graduate School of natural and Applied of Middle East Technical University; Turkey, 2005.
- [4] Lazzaretto, A., Tsatsaronis, G., "SPECO: A systematic and general methodology for calculationg efficiencies and costs in thermal systems," *Energy*, Vol 31, 1257-1289, 2006.
- [5] Hung, F.F., "Performance evaluation of selected combustion gas turbine cogeneration systems based on first and second law analysis," *Journal of Engineering for Gas Turbines and power*, Vol, 112, 117-121, 1990.
- [6] Khaliq, A., Kaushik, S., "Second-law based thermodynamic analysis of Brayton/Rankine combined power cycle with reheatm" *Applied Energy*, Vol, 78(2), 179-197, 2004.
- [7] Badami, M., Mura, M., "Exergetic analysis of an innovative combined cogeneration system," *Energy*, Vol 35, 2535-2543, 2010.
- [8] Invernizzi, C., Iora, P., Silva, P., "Bottoming micro-Rankine cycles for micro-gas turbines," *Applied Thermal Engineering*, Vol, 27, 100-110, 2007.
- [9] Chuang, C., Sue, D., "Performance effects of combined cycle power plant with variable condenser pressure and loading" *Energy*, Vol 30, 1793–1801, 2016.